

TD T1 – Description d'un système thermodynamique

Correction

Exercice 1 – Bouteille de gaz

1. Le volume $V_{\text{ext}} = 10 \text{ m}^3$ est le volume de gaz à pression atmosphérique. Le produit PV est constant (car nRT l'est) car on s'intéresse toujours à la même quantité de gaz qui reste à la même température. On a donc

$$V_{\text{int}} = V_{\text{ext}} \frac{P_{\text{ext}}}{P_{\text{int}}}.$$

A.N. : $V_{\text{int}} = 0,050 \text{ m}^3 = 50 \text{ L}$.

2. Une fois la pression du gaz dans la bouteille réduite à $P = 1 \text{ bar}$, le gaz ne peut plus sortir de la bouteille. Le volume de gaz restant est celui de la bouteille, on ne peut donc en extraire que $V = 9,95 \text{ m}^3$.
3. On applique la loi des GP et avec $m = nM_{\text{Ar}}$, on trouve

$$m = \frac{PV}{RT} M_{\text{Ar}}.$$

A.N. : $m = 16 \text{ kg}$.

Exercice 2 – Gaz d'une lampe spectrale

1. L'hélium est un GPM, son énergie interne s'écrit

$$U(T) = \frac{3}{2} nRT.$$

Avec la loi des GP, on a $P_0 V_0 = nRT$, d'où

$$U_0 = \frac{3}{2} P_0 V_0.$$

A.N. : $U_0 = 4,5 \text{ mJ}$.

On a $m = nM_{\text{He}}$, d'où

$$m = \frac{P_0 V_0}{RT_0} M_{\text{He}}.$$

A.N. : $m = 4,8 \text{ } \mu\text{g}$.

2. La quantité de matière et le volume du gaz restent constants, donc le quotient P/T est constant d'après la loi des GP. Avec $P_f = 1,05 P_0$, on a

$$T_f = 1,05 T_0 \quad \text{et} \quad U_f = 1,05 U_0.$$

Exercice 3 – Pression des pneus

Attention : le manomètre indique la différence de pression entre l'air du pneu et la pression atmosphérique : la pression dans le pneu est donc $P = P_m + P_0$, où P_m est la pression affichée par le manomètre et P_0 la pression atmosphérique.

- Entre l'hiver et l'été, le volume et la quantité de matière de gaz sont constants, donc le quotient P/T est constant d'après la loi des GP. On a

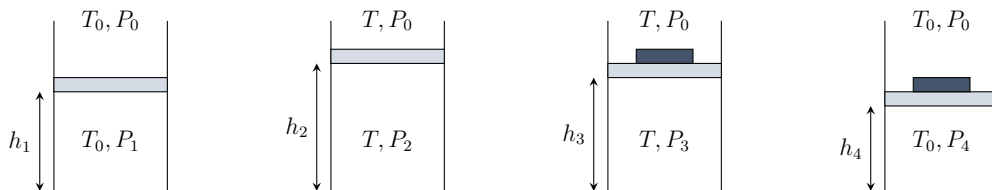
$$\frac{P_1 + P_0}{T_1} = \frac{P_2 + P_0}{T_2}, \quad \text{d'où} \quad \boxed{P_2 = \frac{T_2}{T_1}(P_1 + P_0) - P_0.}$$

A.N. : $P_2 = 2,5 \text{ bar}$.

- La variation de pression entre l'hiver et l'été est $\Delta P = 0,5 \text{ bar}$, soit une augmentation de $\Delta P/(P_1 + P_0) = 17\%$ entre l'hiver et l'été : il faudra ajuster la pression des pneus lors du changement de saison.

Exercice 4 – Gaz parfait dans une enceinte

- À l'équilibre, la température du gaz dans le piston est égale à la température extérieure.



- La condition d'équilibre mécanique du piston dans l'état (1) implique

$$0 = (P_1 - P_0)S - mg, \quad \text{d'où} \quad P_1 = P_0 + \frac{mg}{S}.$$

D'autre part, la loi des GP s'écrit, avec $V = Sh_1$

$$P_1 Sh_1 = nRT_0.$$

On obtient finalement

$$\boxed{h_1 = \frac{nRT_0}{P_0 S + mg}.$$

Dans l'état (2), seule la température passe de T_0 à T , d'où

$$\boxed{h_2 = \frac{T}{T_0} h_1.}$$

Dans l'état (3), on remplace m par $M + m$, d'où

$$\boxed{h_3 = \frac{nRT}{P_0 S + (M + m)g}.$$

Finalement, dans l'état (4), la température repasse à T_0 , d'où

$$\boxed{h_4 = \frac{T_0}{T} h_3.}$$

Exercice 5 – Masse volumique de l'air

1. Avec la loi des GP, on a

$$V_m = \frac{V}{n} = \frac{RT}{P}.$$

A.N. : $V_m = 22,4 \text{ L}$.

2. L'air est composé à hauteur d'environ 80 % de diazote et 20 % de dioxygène.

La masse d'un atome d'azote dont le noyau est formé de 14 nucléons est $m_N = 14m$. La masse molaire de l'azote est donc $M_N = 14m\mathcal{N}_A$. La molécule de diazote N_2 est formée de deux atomes d'azote, d'où $M_{N_2} = 28m\mathcal{N}_A$. De même, on a $M_{O_2} = 32m\mathcal{N}_A$.

La masse molaire de l'air correspond à la moyenne des masses molaires du diazote et du dioxygène, pondérée par leur proportions respectives, d'où

$$M_{\text{air}} = 0,8M_{N_2} + 0,2M_{O_2} = 28,8m\mathcal{N}_A.$$

A.N. : $M_{\text{air}} = 29 \text{ g} \cdot \text{mol}^{-1}$.

3. Avec $m = nM_{\text{air}}$ et la loi des GP, on obtient

$$v = \frac{V_m}{M_{\text{air}}} = \frac{RT}{PM_{\text{air}}} \quad \text{et} \quad \rho = \frac{1}{v}.$$

A.N. : $v = 0,77 \text{ m}^3 \cdot \text{kg}^{-1}$ et $\rho = 1,3 \text{ kg} \cdot \text{m}^{-3}$.

Exercice 6 – Crevaisson

On note D le diamètre de la roue et d le diamètre de la section du pneu. On assimile le pneu à un cylindre de section $\pi d^2/4$ et de hauteur πD . Le volume du pneu est donc

$$V = \frac{\pi^2}{4} D d^2.$$

Le pneu est gonflé quand il contient un volume V de CO_2 à la pression $P = 7,5 \text{ bar}$. En appliquant la loi des GP et avec $m = n(M_C + 2M_O)$, on obtient

$$m = \frac{P\pi^2 D d^2}{4RT} (M_C + 2M_O).$$

A.N. : $m = 14,5 \text{ g}$ à 300 K . Il faut donc prévoir une cartouche de 16 g au moins.

Exercice 7 – Étude d'un compresseur

1. Dès que le piston redescend, la soupape s se ferme. On considère le système fermé formé par l'air contenu dans le cylindre C qui subit une transformation à température constante. Le produit PV est donc constant d'après la loi des GP. Dans l'état initial, le cylindre contient un volume V_M d'air à la pression P_a . Au moment où la soupape s' s'ouvre, l'air du cylindre est à la pression du réservoir P_0 et le volume du cylindre est V'_1 , d'où

$$V'_1 = \frac{P_a}{P_0} V_M.$$

2. On considère le système fermé formé par l'air contenu dans le cylindre et le réservoir, qui passe de $(P_0, V'_1 + V)$ à $(P_1, V_m + V)$ à température constante. Toujours avec $PV = \text{cste}$, on a

$$P_1 = \frac{V'_1 + V}{V_m + V} P_0.$$

En remplaçant V'_1 par son expression, on obtient

$$P_1 = \frac{P_a V_M + P_0 V}{V_m + V}.$$

3. La pression n'augmente plus dans le réservoir si, quand le volume minimal V_m du piston est atteint, la pression dans le cylindre est inférieure ou égale à la pression P_{\max} dans le réservoir. La soupape s' s'ouvre donc encore si

$$V'_1 \geq V_m.$$

En utilisant la relation de la question 1, la pression dans le réservoir lors de l'ouverture de s' s'écrit

$$P = P_a \frac{V_M}{V'_1} \leq P_a \frac{V_M}{V_m} = P_{\max},$$

d'où

$$P_{\max} = \frac{V_M}{V_m} P_a.$$

4. Le même raisonnement qu'aux questions 1 et 2 conduit à

$$P_2 = \frac{P_a V_M}{V_m + V} \left(1 + \frac{V}{V_m + V} \right) + P_0 \left(\frac{V}{V_m + V} \right)^2,$$

puis

$$P_3 = \frac{P_a V_M}{V_m + V} \left(1 + \frac{V}{V_m + V} + \left(\frac{V}{V_m + V} \right)^2 \right) + P_0 \left(\frac{V}{V_m + V} \right)^3.$$

Par récurrence, on obtient

$$P_n = P_0 \left(\frac{V}{V + V_m} \right)^n + \frac{P_a V_M}{V + V_m} \sum_{i=0}^{n-1} \left(\frac{V}{V + V_m} \right)^i.$$

En utilisant

$$\sum_{i=0}^n q^i = \frac{1 - q^{n+1}}{1 - q},$$

on trouve finalement

$$P_n = P_0 \left(\frac{V}{V + V_m} \right)^n + \frac{P_a V_M}{V + V_m} \frac{1 - \left(\frac{V}{V + V_m} \right)^n}{1 - \frac{V}{V + V_m}}.$$

5. Puisque $V < V + V_m$, on a

$$\lim_{n \rightarrow \infty} \left(\frac{V}{V + V_m} \right)^n = 0,$$

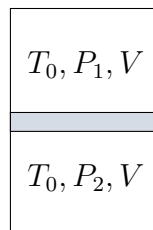
d'où

$$\lim_{n \rightarrow \infty} P_n = \frac{V_M}{V_m} P_a = P_{\max}.$$

6. A.N. : $P_1 = 1,05 \text{ bar}$ et $P_{\max} = 25 \text{ bar}$.

Exercice 8 – Piston en équilibre

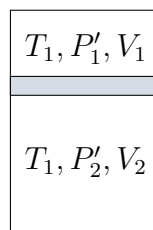
1. Initialement, le dispositif est le suivant.



La masse du piston est σS , avec S la surface du piston. La condition d'équilibre mécanique du piston donne

$$P_2 = P_1 + \sigma g.$$

2. Quand la température passe à T_1 , le dispositif devient celui représenté ci-dessous, sans que l'on sache nécessairement pour l'instant si le piston est monté ou descendu.



La conservation du volume total de l'enceinte donne une première relation :

$$V_1 + V_2 = 2V.$$

La conservation de la quantité de matière de gaz dans chaque compartiment donne deux relations supplémentaires en utilisant la loi des GP

$$\frac{P_1 V}{T_0} = \frac{P'_1 V_1}{T_1} \quad \text{et} \quad \frac{P_2 V}{T_0} = \frac{P'_2 V_2}{T_1}.$$

Finalement, la condition d'équilibre mécanique du piston donne la quatrième relation :

$$P'_2 = P'_1 + \sigma g.$$

On doit donc résoudre le système

$$\begin{cases} V_1 + V_2 = 2V \\ P'_2 = P'_1 + \sigma g \\ \frac{P_1 V}{T_0} = \frac{P'_1 V_1}{T_1} \\ \frac{P_2 V}{T_0} = \frac{P'_2 V_2}{T_1} \end{cases}$$

La résolution (...) conduit à une équation du second ordre vérifiée par V_1 :

$$aV_1^2 + bVV_1 + cV^2 = 0,$$

avec

$$a = \sigma g T_0, \quad b = (P_1 + P_2)T_1 - 2\sigma g T_0, \quad \text{et} \quad c = -2P_1 T_1.$$

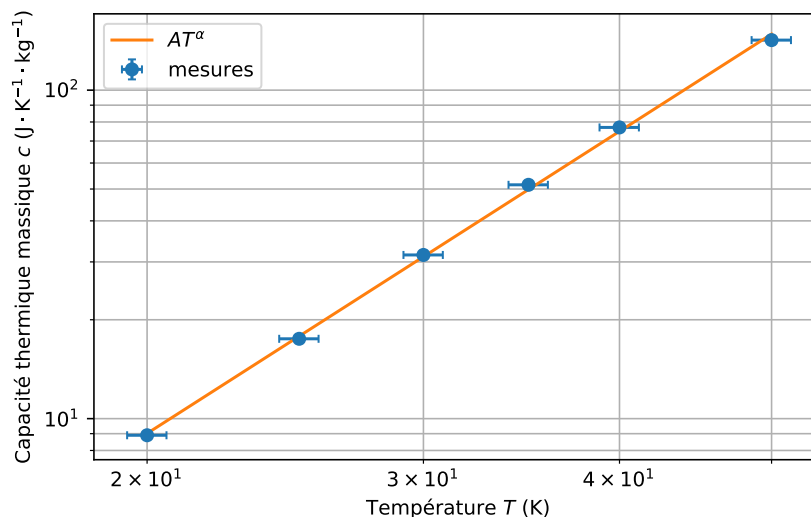
La résolution conduit à deux racines réelles, dont l'une est négative. On garde la solution positive

$$V_1 = \frac{-b + \sqrt{b^2 - 4ac}}{2a} V.$$

A.N. : $V_1 = 0,9V$ et $V_2 = 1,1V$.

Exercice 9 – Capacité thermique d'un métal

1. L'application numérique donne $C_m = 3R \approx 25 \text{ J} \cdot \text{K}^{-1} \cdot \text{mol}^{-1}$.
2. On commence par représenter les données dans un graphique en échelle log/log avec la commande `plt.loglog(T,c)`. Représenter les barres d'erreur nécessite de ruser un peu, c'est pourquoi le code ci-dessous n'utilise pas directement cette commande. On obtient le graphe ci-dessous, où les points de mesure semblent alignés, ce qui laisse penser à un loi de puissance et qui explique l'expression proposée dans l'énoncé.

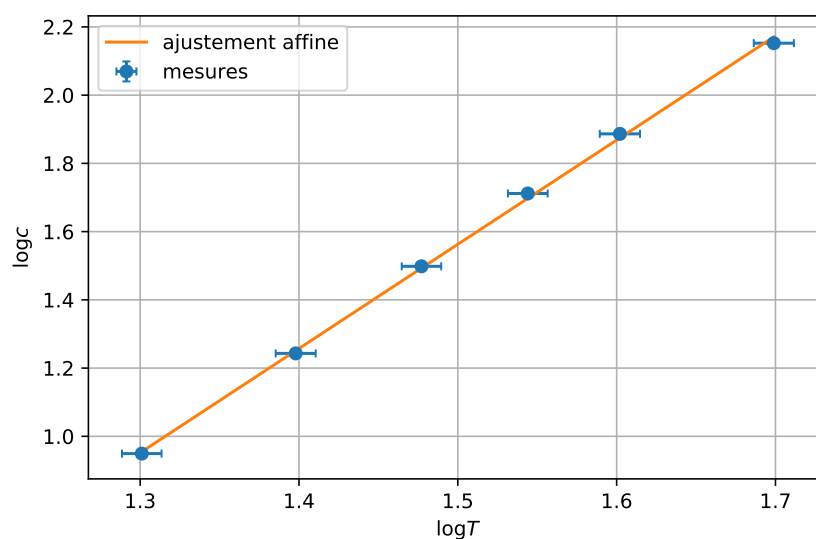


Si le modèle proposé dans l'énoncé est valide, on a en effet

$$\log c = \log(AT^\alpha) = \log A + \alpha \log T.$$

L'ajustement affine se fait avec la fonction `np.polyfit(x,y,1)`. La propagation des incertitudes est un peu fastidieuse mais se fait bien en appliquant les méthodes vues en TP avec la méthode Monte-Carlo. On obtient le graphique représenté ci-dessous, avec des points qui semblent aléatoirement répartis de part et d'autre de la droite et une droite comprise dans les barres d'incertitude-type : l'ajustement affine paraît raisonnable et le modèle est valide dans la gamme de températures considérées. Tous calculs faits, on obtient

$$\alpha = 3,1 \pm 0,1 \quad \text{et} \quad A = (1,0 \pm 0,5) \times 10^{-3} \text{ J} \cdot \text{K}^{-4} \cdot \text{kg}^{-1}.$$



L'exposant α est compatible avec l'exposant 3 attendu dans le modèle de Debye où

$$c(T) = AT^3,$$

qui décrit la capacité thermique des métaux à basse température, avec un écart normalisé $E_n = 1 < 2$.

```

1 import numpy as np
2 import matplotlib.pyplot as plt
3
4 #####
5 # DONNÉES EXPÉRIMENTALES
6 #####
7 T = np.array([20,25,30,35,40,50])           # température (K)
8 uT = T * .05 / np.sqrt(3)                   # incertitude-type
9 c = np.array([8.9,17.5,31.5,51.5,77,142])   # capacité thermique massique (J·K⁻¹·kg⁻¹)
10 uc = c * .05 / np.sqrt(3)                   # incertitude-type
11
12 #####
13 # AJUSTEMENT
14 #####
15 logT = np.log10(T)
```

```

16 logc = np.log10(c)
17 ulogT, ulogc = [], [] # propagation des incertitudes
18 for k in range(len(T)): # sur chaque valeur mesurée
19     T_sim = np.random.normal(T[k], uT[k], 10000)
20     c_sim = np.random.normal(c[k], uc[k], 10000)
21     ulogT.append(np.std(np.log10(np.array(T_sim)), ddof=1))
22     ulogc.append(np.std(np.log10(np.array(c_sim)), ddof=1))
23 ulogT, ulogc = np.array(ulogT), np.array(ulogc)
24
25 alpha, logA = np.polyfit(logT, logc, 1) # ajustement affine
26
27 a_sim, b_sim = [], [] # estimation de l'incertitude-type
28 for i in range(10000): # sur les paramètres de l'ajustement
29     logT_sim = np.random.normal(logT, ulogT)
30     logc_sim = np.random.normal(logc, ulogc)
31     a, b = np.polyfit(logT_sim, logc_sim, 1)
32     a_sim.append(a)
33     b_sim.append(b)
34 ualpha, ulogA = np.std(a_sim, ddof=1), np.std(b_sim, ddof=1)
35
36 A = 10**logA
37 logA_sim = np.random.normal(logA, ulogA, 10000)
38 uA = np.std(10**logA_sim, ddof=1)
39
40 #####
41 # REPRÉSENTATIONS GRAPHIQUES
42 #####
43 plt.figure(figsize=(6,4)) # Échelle log/log
44 plt.errorbar(T, c, xerr=uT, yerr=uc, fmt="o", capsize=2, label="mesures")
45 plt.plot(T, A * T**alpha, label="$AT^{\alpha}$")
46 plt.xscale('log', nonposx='clip')
47 plt.yscale('log', nonposy='clip')
48 plt.grid(which="both")
49 plt.xlabel("Température $T$ (K)")
50 plt.ylabel("Capacité thermique massique $c$ ($\rm{J \cdot K^{-1} \cdot kg^{-1}}$)")
51 plt.legend(loc="upper left")
52
53 plt.figure(figsize=(6,4)) # tracé de log(c) = f(log(T)) pour l'ajustement
54 plt.errorbar(logT, logc, xerr=ulogT, yerr=ulogc, fmt="o", capsize=2, label="mesures")
55 plt.plot(logT, alpha*logT + logA, label="ajustement affine")
56 plt.grid(which="both")
57 plt.xlabel("$\log T$")
58 plt.ylabel("$\log c$")
59 plt.legend(loc="upper left")
60
61 #####
62 # AFFICHAGE DES RÉSULTATS
63 #####
64 print("alpha = {:.1f} +/- {:.1f}".format(alpha, ualpha))
65 print("A = ({:.1f} +/- {:.1f}).10^-3 USI".format(A*1e3, uA*1e3))

```


3. On calcule la variation d'énergie interne ΔU , avec $c(T) = AT^\alpha \neq \text{cste}$:

$$\Delta U = \int_{T_1}^{T_2} mc(T)dT = \int_{T_1}^{T_2} mAT^\alpha dT = \frac{mA}{\alpha + 1} (T_2^{\alpha+1} - T_1^{\alpha+1}).$$

La puissance \mathcal{P} de chauffage est constante, d'où

$$\Delta t = mA \frac{T_2^{\alpha+1} - T_1^{\alpha+1}}{(\alpha + 1)\mathcal{P}}.$$

A.N. : $\Delta t \approx 2,2 \times 10^2 \text{ s} = 3,7 \text{ min.}$

Exercice 10 – Hémisphères de Magdebourg

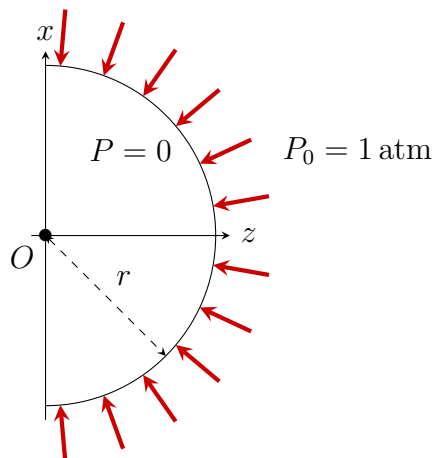
1. La force nécessaire pour séparer les deux demi-cylindres ne dépend que de la section du cylindre, donc de son diamètre. En effet les forces exercées sur les parois courbes du cylindre sont dirigées perpendiculairement à l'axe du cylindre et n'empêchent pas la séparation.
2. La résultante des forces qui s'exerce sur la section du cylindre est simplement $P_0 \pi r^2$. Pour séparer les cylindres, il faut exercer une force au moins aussi intense mais de sens opposé, d'où

$$F = P_0 \pi r^2.$$

A.N. : $F = 20 \text{ kN}$, ce qui correspond à l'équivalent du poids d'une masse de 2 tonnes.

3. Soit \vec{e}_z le vecteur unitaire normal au plan équatorial séparant les deux hémisphères. Par symétrie autour de l'axe \vec{e}_z , la résultante des forces de pression sera dirigée selon l'axe \vec{e}_z : on ne s'intéresse qu'à la projection des forces de pression selon \vec{e}_z .

On considère l'hémisphère représenté ci-contre. En coordonnées sphériques, l'élément de surface orienté est $d\vec{S} = r d\theta \times r \sin \theta d\varphi \vec{e}_r$. La résultante des forces de pression sur cet élément de surface est alors $d\vec{F} = -P_0 d\vec{S}$.



On projette sur \vec{e}_z et on intègre de $\theta = 0$ à $\pi/2$ et de $\varphi = 0$ à 2π pour avoir la résultante des forces de pression sur l'hémisphère :

$$\begin{aligned}\vec{F} \cdot \vec{e}_z &= \iint d\vec{F} \cdot \vec{e}_z \\&= - \int_{\theta=0}^{\pi/2} \int_{\varphi=0}^{2\pi} P_0 r^2 \sin \theta \cos \theta d\theta d\varphi \\&= -P_0 r^2 \left(\int_{\theta=0}^{\pi/2} \sin \theta \cos \theta d\theta \right) \underbrace{\left(\int_{\varphi=0}^{2\pi} d\varphi \right)}_{2\pi} \\&= -2\pi P_0 r^2 \left[\frac{\sin^2 \theta}{2} \right]_0^{\pi/2} = -P_0 \pi r^2\end{aligned}$$

On obtient $\vec{F} \cdot \vec{e}_z = -P_0 \pi r^2$. Il faudra donc la même force pour séparer les deux hémisphères que pour séparer les deux demi-cylindres.